

**(HL,xn $\gamma$ ) 1984To10**

Type	Author	History Citation	Literature Cutoff Date
Full Evaluation	Balraj Singh	NDS 93, 33 (2001)	11-May-2001

See also  $^{100}\text{Mo}(^{34}\text{S},4n\gamma)$ :SD (1998Se10,1997Wi02,1997Pa42) for SD band measurements.

1984To10:  $^{116}\text{Sn}(^{18}\text{O},4n\gamma)$ ,  $^{117}\text{Sn}(^{16}\text{O},3n\gamma)$ ,  $^{118}\text{Sn}(^{16}\text{O},4n\gamma)$  E=73-85 MeV. Measured  $E\gamma$ ,  $I\gamma$ ,  $\gamma\gamma$ ,  $\gamma(\theta)$ ,  $\gamma\gamma(\theta)$ ,  $\gamma\gamma(t)$ , lifetimes by Doppler-shift attenuation method, recoils.

1984Tw01 (also 1982No02,1983No07,1983No09):  $^{100}\text{Mo}(^{34}\text{S},4n\gamma)$  E=150 MeV. Measured  $E\gamma$ ,  $\gamma\gamma$ . Deduced higher members of g.s. and negative parity bands and other features of the yrast band.

2000PaZZ:  $^{100}\text{Mo}(^{34}\text{S},4n\gamma)$  E=155 MeV. Measured  $E\gamma$ ,  $I\gamma$ ,  $\gamma\gamma$  (triples and quadruples),  $\gamma\gamma(\theta)$ (DCO),  $\gamma(\text{lin pol})$  using EUROGAM 2 array. Preliminary report; full details are not yet available.

**Additional information 1.**

Earlier  $\gamma$ -ray data:

1974De12:  $^{118}\text{Sn}(^{16}\text{O},4n\gamma)$  E=68-76 MeV. Measured  $E\gamma$ ,  $\gamma(\theta)$ ,  $\gamma\gamma$ , lifetimes by recoil-distance Doppler shift method. Eight  $\gamma$  rays reported in the g.s. band.

1970Sm05, 1973Wy01 (also 1971WyZW):  $^{130}\text{Ba}(\alpha,4n\gamma)$  E=62-64 MeV. Measured  $E\gamma$ ,  $I\gamma$ , ce. Four  $\gamma$  rays reported in the g.s. band.

1968Wa14:  $^{118}\text{Sn}(^{16}\text{O},4n\gamma)$  E=80 MeV,  $^{114}\text{Cd}(^{20}\text{Ne},4n\gamma)$  E=85 MeV. Measured  $E\gamma$ ,  $I\gamma$ ,  $\gamma(\theta)$ . Four  $\gamma$  rays reported in g.s. band.

Lifetime measurements:

1999K111:  $^{110}\text{Pd}(^{28}\text{Si},a4n\gamma)$  E=125 MeV. Measured lifetimes of  $2^+$  and  $4^+$  members of the g.s. band by recoil-distance Doppler-shift method.

1999Io02:  $^{116}\text{Sn}(^{16}\text{O},2n\gamma)$ ,  $^{117}\text{Sn}(^{16}\text{O},3n\gamma)$  and  $^{118}\text{Sn}(^{16}\text{O},4n\gamma)$  E=70 MeV. Measured quadrupole moment and lifetime of  $7^-$  isomer at 2454 by TDPAD method.

1992De28:  $^{98}\text{Mo}(^{36}\text{S},4n\gamma)$  E=150 MeV. Measured lifetimes by recoil- distance Doppler shift method.

1990Ti08:  $^{98}\text{Mo}(^{36}\text{S},4n\gamma)$  E=143-150 MeV. Measured lifetimes by line-shape analysis.

1983No09:  $^{100}\text{Mo}(^{34}\text{S},4n\gamma)$  E=150 MeV. Measured lifetimes by DSA.

1977Hu10:  $^{118}\text{Sn}(^{16}\text{O},4n\gamma)$  E=76 MeV. Measured lifetimes by recoil-distance Doppler shift method.

1975Wa14 (also 1974WaZS):  $^{110}\text{Pd}(^{24}\text{Mg},4n\gamma)$  E=103 MeV,  $^{115}\text{In}(^{19}\text{F},4n\gamma)$  E=86 MeV. Measured lifetimes by recoil-distance Doppler shift method.

1975Bu08:  $^{118}\text{Sn}(^{16}\text{O},4n\gamma)$  E=82 MeV. Measured lifetime by recoil-distance Doppler shift method.

Others:

1996Sa03:  $^{100}\text{Mo}(^{34}\text{S},4n\gamma)$  E=140 MeV. Measured  $\gamma\gamma$  and  $\gamma$  ce coin to estimate E0 components in  $\Delta J=0$ ,  $\Delta\pi=\text{no}$  transitions.

1988Ja05:  $^{58}\text{Ni}(^{78}\text{Se},X)$  E=300 MeV. Measured  $\gamma(\text{recoil})$  coin, deduced evidence for  $^{130}\text{Ce}$ .

Energy-energy correlation measurements: 1987Le01, 1985Lo06, 1985Je03, 1984Tw01, 1984Hi02, 1981Bi02.

The level scheme is mainly from 1984To10.

 $^{130}\text{Ce}$  Levels

Quasiparticle nomenclature:

A:  $\pi h_{11/2}3/2[541]$ ,  $\alpha=-1/2$ .

B:  $\pi h_{11/2}3/2[541]$ ,  $\alpha=+1/2$ .

C:  $\pi h_{11/2}1/2[550]$ ,  $\alpha=-1/2$ .

D:  $\pi h_{11/2}1/2[550]$ ,  $\alpha=+1/2$ .

E:  $\pi d_{3/2}1/2[420]$ ,  $\alpha=+1/2$ .

F:  $\pi d_{3/2}1/2[420]$ ,  $\alpha=-1/2$ .

a:  $\nu h_{11/2}7/2[523]$ ,  $\alpha=-1/2$ .

b:  $\nu h_{11/2}7/2[523]$ ,  $\alpha=+1/2$ .

e:  $\nu g_{7/2}7/2[404]$ ,  $\alpha=+1/2$ .

f:  $\nu g_{7/2}7/2[404]$ ,  $\alpha=-1/2$ .

**(HI,xn $\gamma$ ) 1984To10 (continued)** $^{130}\text{Ce}$  Levels (continued)

E(level)	J $\pi^{\dagger}$	T <sub>1/2</sub>	Comments
0.0 $\ddagger$	0 <sup>+</sup>		
253.98 $\ddagger$ 19	2 <sup>+</sup>	143 ps 6	T <sub>1/2</sub> : weighted average of 125 ps 10 (1984To10), 145 ps 10 (1977Hu10), 146 ps 6 (1975Bu08), 156 ps 13 (1974De12).
710.4 $\ddagger$ 3	4 <sup>+</sup>	4.3 ps +5-3	T <sub>1/2</sub> : from RDDS (1992De28). Others (RDDS): 5.1 ps 6 (1984To10), 5.0 ps 4 (1977Hu10), 5.4 ps 16 (1974De12).
834.6 $\#$ 3	2 <sup>+</sup>		
1322.6 $\#$ 4	4 <sup>+</sup>		
1323.9 $\ddagger$ 3	6 <sup>+</sup>	0.87 ps 7	T <sub>1/2</sub> : from RDDS (1992De28). Others: 1.80 ps 14 (1984To10), 1.9 ps 6 (1977Hu10), 1.7 ps 8 (1974De12).
1897.4 $\#$ 4	6 <sup>+</sup>		
1954.6 $\&$ 4	5 <sup>-</sup>		
2052.8 $\ddagger$ 4	8 <sup>+</sup>	0.24 ps 7	T <sub>1/2</sub> : from RDDS (1992De28). Others (RDDS): <0.6 ps (1984To10), ≤0.7 ps (1977Hu10, 1974De12, 1975Wa14).
2313.0 $\&$ 4	7 <sup>-</sup>	23 ps 3	T <sub>1/2</sub> : from RDDS (1984To10).
2333.1 5			
2380.8 $@$ 4	6 <sup>-</sup>		
2453.4 $a$ 4	7 <sup>-</sup>	100 ns 8	Q=1.77 21 (1999Io02) T <sub>1/2</sub> : from $\gamma(t)$ . Average of 92 ns 3 (1999Io02) and 109 ns 3 (1984To10). Q: TDPAD method.
2560.4 $\#$ 5	8 <sup>+</sup>		
2642.2 $b$ 5	8 <sup>-</sup>		
2644.3 $@$ 4	8 <sup>-</sup>		
2760.7 $\&$ 4	9 <sup>-</sup>	2.8 ps 14	T <sub>1/2</sub> : from RDDS (1984To10).
2808.9 $\ddagger$ 4	10 <sup>+</sup>	0.42 ps 10	T <sub>1/2</sub> : from RDDS (1992De28). Others (RDDS): 0.62 ps 14 (1984To10), 0.8 ps 4 (1977Hu10), ≈1.0 ps (1975Wa14).
2958.2 $a$ 5	9 <sup>-</sup>		
3071.4 $@$ 4	10 <sup>-</sup>	5.2 ps 10	T <sub>1/2</sub> : from RDDS (1984To10). <a href="#">Additional information 2.</a>
3296.3 $\#$ 7	10 <sup>+</sup>		
3311.8 $\ddagger$ 5	12 <sup>+</sup>	2.84 ps 17	T <sub>1/2</sub> : from RDDS (1992De28). Others (RDDS): 1.3 ps 3 (1984To10), 5.0 ps 9 (1977Hu10), 4.1 ps 10 (1974WaZS).
3316.6 $b$ 6	10 <sup>-</sup>		
3319.6 $\&$ 5	11 <sup>-</sup>	<1.4 ps	T <sub>1/2</sub> : from RDDS (1984To10).
3681.1 $@$ 5	12 <sup>-</sup>	<1.0 ps	T <sub>1/2</sub> : from RDDS (1984To10). <a href="#">Additional information 3.</a>
3699.5 $a$ 6	11 <sup>-</sup>		
3860.5 $\ddagger$ 5	14 <sup>+</sup>	1.24 ps 7	T <sub>1/2</sub> : from RDDS (1992De28). Others (RDDS): 0.83 ps 21 (1984To10), 1.0 ps +7-10 (1977Hu10), <2 ps (1975Wa14).
3985.1 $\#$ 8	12 <sup>+</sup>		
4026.5 $\&$ 5	13 <sup>-</sup>		
4119.7 $b$ 6	12 <sup>-</sup>		
4448.6 $@$ 7	14 <sup>-</sup>		
4535.4 $a$ 6	13 <sup>-</sup>		
4553.2 $\ddagger$ 5	16 <sup>+</sup>	0.28 ps 7	T <sub>1/2</sub> : from RDDS (1992De28). Others: 0.35 ps 8 (DSAM, 1990Ti08), 0.7-1.0 ps (RDM and DSAM, 1984To10).
4755.2 $\#$ 9	14 <sup>+</sup>		
4862.2 $\&$ 6	15 <sup>-</sup>		
4972.8 $b$ 7	14 <sup>-</sup>		

Continued on next page (footnotes at end of table)

**(HI,xn $\gamma$ ) 1984To10 (continued)** $^{130}\text{Ce}$  Levels (continued)

E(level)	J $^{\pi}$	T $_{1/2}$	Comments
5304.6 <sup>a</sup> 7	15 <sup>-</sup>		
5343.3 <sup>@</sup> 8	16 <sup>-</sup>		
5384.3 <sup>‡</sup> 6	18 <sup>+</sup>	0.21 ps 5	T $_{1/2}$ : from DSAM (1990Ti08). Other: 0.70 ps 14 (DSAM,1984To10).
5585.1 <sup>b</sup> 7	16 <sup>-</sup>		
5608 <sup>#</sup> 1	16 <sup>+</sup>		
5757.7 <sup>&amp;</sup> 7	17 <sup>-</sup>		
5880.5 <sup>a</sup> 7	17 <sup>-</sup>		
5884.3 8	(17 <sup>-</sup> )		
6211.1 <sup>b</sup> 8	18 <sup>-</sup>		
6319.8 <sup>@</sup> 9	18 <sup>-</sup>		
6341.8 <sup>‡</sup> 6	20 <sup>+</sup>	173 fs 35	T $_{1/2}$ : from DSAM (1990Ti08). Other: 0.24 ps 6 (DSAM,1984To10).
6396 1	20 <sup>+</sup>		
6533 <sup>#</sup> 2	18 <sup>+</sup>		
6575.4 <sup>a</sup> 8	19 <sup>-</sup>		
6642.1 <sup>&amp;</sup> 8	19 <sup>-</sup>		
6977.3 <sup>b</sup> 8	20 <sup>-</sup>		
7388 <sup>@</sup> 1	20 <sup>-</sup>		
7409.0 <sup>‡</sup> 7	22 <sup>+</sup>	75 fs 14	T $_{1/2}$ : from DSAM (1990Ti08). Other: 0.21 ps 4 (DSAM,1984To10).
7411.1 <sup>a</sup> 10	21 <sup>-</sup>		
7513 <sup>#</sup> 2	20 <sup>+</sup>		
7583 <sup>&amp;</sup> 1	21 <sup>-</sup>		
7883.4 <sup>b</sup> 9	22 <sup>-</sup>		
8378.7 <sup>a</sup> 11	23 <sup>-</sup>		
8511 <sup>@</sup> 2	22 <sup>-</sup>		
8554 <sup>#</sup> 2	22 <sup>+</sup>		
8570.5 <sup>‡</sup> 9	24 <sup>+</sup>	52 fs 10	T $_{1/2}$ : DSAM (1990Ti08).
8605 <sup>&amp;</sup> 2	23 <sup>-</sup>		
8606 1	24 <sup>+</sup>		
8910.6 <sup>b</sup> 11	24 <sup>-</sup>		
9463.6 <sup>a</sup> 13	25 <sup>-</sup>		
9664 <sup>#</sup> 3	24 <sup>+</sup>		
9702.9 10	(26 <sup>+</sup> )		
9703 <sup>&amp;</sup> 2	25 <sup>-</sup>		
9748 2	26 <sup>+</sup>		
9816 <sup>‡</sup> 2	26 <sup>+</sup>	31 fs 9	T $_{1/2}$ : DSAM (1990Ti08).
10049 <sup>b</sup> 2	26 <sup>-</sup>		
10649 <sup>a</sup> 2	27 <sup>-</sup>		
10849 <sup>#</sup> 3	26 <sup>+</sup>		
10876 <sup>&amp;</sup> 2	27 <sup>-</sup>		
10997 2	28 <sup>+</sup>		
11132 <sup>‡</sup> 2	28 <sup>+</sup>		
11138 2	28 <sup>+</sup>		
11282 <sup>b</sup> 2	28 <sup>-</sup>		
11922 <sup>a</sup> 3	29 <sup>-</sup>		
12097 <sup>&amp;</sup> 3	29 <sup>-</sup>		
12486 <sup>‡</sup> 3	30 <sup>+</sup>		
12606 <sup>b</sup> 3	30 <sup>-</sup>		

Continued on next page (footnotes at end of table)

**(HL,xn $\gamma$ ) 1984To10 (continued)**

$^{130}\text{Ce}$  Levels (continued)

E(level)	$J^\pi$ <sup>†</sup>
13817 <sup>‡</sup> 3	32 <sup>+</sup>
15178 <sup>‡</sup> 3	34 <sup>+</sup>

- <sup>†</sup> From  $\gamma(\theta)$ ,  $\gamma\gamma(\theta)$  and associated band structures.
- <sup>‡</sup> Band(A): g.s. (yrast) band, AB after 10<sup>+</sup>. second backbend at about 24<sup>+</sup>.
- # Band(B):  $\gamma$  band,  $\gamma$ AB after 10<sup>+</sup>.
- @ Band(C): AE band.
- & Band(D): AF band.
- <sup>a</sup> Band(E):  $K^\pi=(7^-)$  af band, afAB after 15<sup>-</sup>.
- <sup>b</sup> Band(F):  $K^\pi=(7^-)$  ae band, aeAB after 14<sup>-</sup>.

$\gamma(^{130}\text{Ce})$

$E_\gamma$ <sup>†</sup>	$I_\gamma$ <sup>†</sup>	$E_i(\text{level})$	$J_i^\pi$	$E_f$	$J_f^\pi$	Mult. @	$\delta$	$\alpha^b$	$I_{(\gamma+ce)}$	Comments
(72.8&)	&	2453.4	7 <sup>-</sup>	2380.8	6 <sup>-</sup>				≈1.9	$I_{(\gamma+ce)}$ : branching=10% (1984To10) based on subsequent $\gamma$ 's in $\gamma\gamma$ spectrum.
116.4 5 (120.5&)	0.5 1 &	2760.7 2453.4	9 <sup>-</sup> 7 <sup>-</sup>	2644.3 2333.1	8 <sup>-</sup> 6 <sup>-</sup>				≈4.3	$I_{(\gamma+ce)}$ : branching=23% (1984To10) based on subsequent $\gamma$ 's in $\gamma\gamma$ spectrum.
189.3 3	9.5 20	2642.2	8 <sup>-</sup>	2453.4	7 <sup>-</sup>	(M1+E2)	-1.3 4	0.21 5		$\alpha(K)=0.1687$ ; $\alpha(L)=0.036$ ; $\alpha(M)=0.0077$ ; $\alpha(N+..)=0.00205$ $A_2=-0.88$ 3, $A_4=+0.14$ 3 (1984To10).
248.2 5 253.9 2	0.5 1 100 10	3319.6 253.98	11 <sup>-</sup> 2 <sup>+</sup>	3071.4 0.0	10 <sup>-</sup> 0 <sup>+</sup>	E2		0.0837		$\alpha(K)_{\text{exp}}=0.068$ 12 $\alpha(K)=0.0659$ ; $\alpha(L)=0.01399$ ; $\alpha(M)=0.00300$ ; $\alpha(N+..)=0.00079$ $A_2=+0.40$ 1, $A_4=-0.18$ 2 (1974De12). Additional information 4.
260.4 4	3.0 6	2313.0	7 <sup>-</sup>	2052.8	8 <sup>+</sup>	D(+Q)	+0.05 5			$A_2=-0.02$ 3, $A_4=-0.02$ 3 (1984To10).
263.4 4	3.2 6	2644.3	8 <sup>-</sup>	2380.8	6 <sup>-</sup>					
280.5 4	1.5 3	5585.1	16 <sup>-</sup>	5304.6	15 <sup>-</sup>					
295.5 4	1.5 3	5880.5	17 <sup>-</sup>	5585.1	16 <sup>-</sup>					
310.7 4	1.4 3	3071.4	10 <sup>-</sup>	2760.7	9 <sup>-</sup>					
316.3 4	1.9 4	2958.2	9 <sup>-</sup>	2642.2	8 <sup>-</sup>					
330.6 5	1.0 2	6211.1	18 <sup>-</sup>	5880.5	17 <sup>-</sup>					
331.2 4	2.2 4	2644.3	8 <sup>-</sup>	2313.0	7 <sup>-</sup>					
332.0 4	1.5 3	5304.6	15 <sup>-</sup>	4972.8	14 <sup>-</sup>					
345.4 5	0.5 1	4026.5	13 <sup>-</sup>	3681.1	12 <sup>-</sup>					
358.4 2	15.3 15	2313.0	7 <sup>-</sup>	1954.6	5 <sup>-</sup>	E2 <sup>a</sup>				
358.4 5	0.9 2	3316.6	10 <sup>-</sup>	2958.2	9 <sup>-</sup>					
361.5 4	1.1 2	3681.1	12 <sup>-</sup>	3319.6	11 <sup>-</sup>					
364.4 5	0.9 2	6575.4	19 <sup>-</sup>	6211.1	18 <sup>-</sup>					

Continued on next page (footnotes at end of table)

(HI,xnγ) **1984To10** (continued)

γ(<sup>130</sup>Ce) (continued)

<u>E<sub>γ</sub><sup>†</sup></u>	<u>I<sub>γ</sub><sup>†</sup></u>	<u>E<sub>i</sub>(level)</u>	<u>J<sub>i</sub><sup>π</sup></u>	<u>E<sub>f</sub></u>	<u>J<sub>f</sub><sup>π</sup></u>	<u>Mult.<sup>@</sup></u>	<u>δ</u>	<u>Comments</u>
383.0 5	0.8 2	3699.5	11 <sup>-</sup>	3316.6	10 <sup>-</sup>			
401.0 5	0.6 1	2453.4	7 <sup>-</sup>	2052.8	8 <sup>+</sup>			
402.0 5	0.7 2	6977.3	20 <sup>-</sup>	6575.4	19 <sup>-</sup>			
415.5 4	1.8 4	2313.0	7 <sup>-</sup>	1897.4	6 <sup>+</sup>			E <sub>γ</sub> : 419 (2000PaZZ).
415.5 5	0.7 2	4535.4	13 <sup>-</sup>	4119.7	12 <sup>-</sup>			
420.3 5	0.3 1	4119.7	12 <sup>-</sup>	3699.5	11 <sup>-</sup>			
426.2 5	0.6 1	2380.8	6 <sup>-</sup>	1954.6	5 <sup>-</sup>			
427.1 3	6.8 14	3071.4	10 <sup>-</sup>	2644.3	8 <sup>-</sup>	E2 <sup>a</sup>		
434 <sup>#</sup>		7411.1	21 <sup>-</sup>	6977.3	20 <sup>-</sup>			
437.1 5	0.5 1	4972.8	14 <sup>-</sup>	4535.4	13 <sup>-</sup>			
447.6 2	13.7 14	2760.7	9 <sup>-</sup>	2313.0	7 <sup>-</sup>	E2 <sup>a</sup>		
456.4 2	99 10	710.4	4 <sup>+</sup>	253.98	2 <sup>+</sup>	E2		α(K)exp=0.013 3 A <sub>2</sub> =+0.32 1, A <sub>4</sub> =-0.14 1 (1974De12). Additional information 5.
473 <sup>#</sup>		7883.4	22 <sup>-</sup>	7411.1	21 <sup>-</sup>			
483.3 5	0.5 1	2380.8	6 <sup>-</sup>	1897.4	6 <sup>+</sup>			
487.7 4	2.5 5	1322.6	4 <sup>+</sup>	834.6	2 <sup>+</sup>			
495 <sup>#</sup>		8378.7	23 <sup>-</sup>	7883.4	22 <sup>-</sup>			E <sub>γ</sub> : 497 (1984Tw01).
499.0 4	1.8 4	2453.4	7 <sup>-</sup>	1954.6	5 <sup>-</sup>			
502.9 2	38 4	3311.8	12 <sup>+</sup>	2808.9	10 <sup>+</sup>	E2		A <sub>2</sub> =+0.38 2, A <sub>4</sub> =-0.04 2 (1984To10). Additional information 8.
505 <sup>#</sup>		2560.4	8 <sup>+</sup>	2052.8	8 <sup>+</sup>			
532 <sup>#</sup>		8910.6	24 <sup>-</sup>	8378.7	23 <sup>-</sup>			
548.6 2	31 3	3860.5	14 <sup>+</sup>	3311.8	12 <sup>+</sup>	E2		A <sub>2</sub> =+0.37 10, A <sub>4</sub> =-0.10 14 (1974De12). γ not shown by 2000PaZZ.
553 <sup>‡</sup>		9463.6	25 <sup>-</sup>	8910.6	24 <sup>-</sup>			
556.1 3	5.0 10	2453.4	7 <sup>-</sup>	1897.4	6 <sup>+</sup>			
558.9 3	9.1 20	3319.6	11 <sup>-</sup>	2760.7	9 <sup>-</sup>	E2 <sup>a</sup>		
573.6 4	4.2 8	1897.4	6 <sup>+</sup>	1323.9	6 <sup>+</sup>			
574.8 4	3.5 7	1897.4	6 <sup>+</sup>	1322.6	4 <sup>+</sup>			
576.0 5	0.2 1	5880.5	17 <sup>-</sup>	5304.6	15 <sup>-</sup>			
580.1 4	1.3 3	834.6	2 <sup>+</sup>	253.98	2 <sup>+</sup>			
587 <sup>#</sup>		2642.2	8 <sup>-</sup>	2052.8	8 <sup>+</sup>			
591.6 5	0.9 2	2644.3	8 <sup>-</sup>	2052.8	8 <sup>+</sup>			
609.7 4	4.2 8	3681.1	12 <sup>-</sup>	3071.4	10 <sup>-</sup>	E2 <sup>a</sup>		
612 <sup>#</sup>		1322.6	4 <sup>+</sup>	710.4	4 <sup>+</sup>			
612.5 4	1.3 3	5585.1	16 <sup>-</sup>	4972.8	14 <sup>-</sup>			
613.6 2	86 9	1323.9	6 <sup>+</sup>	710.4	4 <sup>+</sup>	E2		α(K)exp=0.0058 15 A <sub>2</sub> =+0.26 2, A <sub>4</sub> =-0.14 3 (1974De12). Additional information 6.
626.1 5	0.4 1	6211.1	18 <sup>-</sup>	5585.1	16 <sup>-</sup>			
630.7 2	15.2 15	1954.6	5 <sup>-</sup>	1323.9	6 <sup>+</sup>	D(+Q)	+0.04 4	A <sub>2</sub> =-0.19 12, A <sub>4</sub> =-0.01 7. E <sub>γ</sub> : 635 (2000PaZZ).
631.9 5	0.3 1	1954.6	5 <sup>-</sup>	1322.6	4 <sup>+</sup>			
663.4 4	3.6 8	2560.4	8 <sup>+</sup>	1897.4	6 <sup>+</sup>			
674.7 4	3.2 6	3316.6	10 <sup>-</sup>	2642.2	8 <sup>-</sup>			
688.8 4	1.2 2	3985.1	12 <sup>+</sup>	3296.3	10 <sup>+</sup>			
692.7 2	23.5 24	4553.2	16 <sup>+</sup>	3860.5	14 <sup>+</sup>	E2		A <sub>2</sub> =+0.32 4, A <sub>4</sub> =-0.20 6 (1974De12).
695.0 5	0.4 1	6575.4	19 <sup>-</sup>	5880.5	17 <sup>-</sup>			
706.9 3	6.5 13	4026.5	13 <sup>-</sup>	3319.6	11 <sup>-</sup>			
708.0 4	4.0 8	2760.7	9 <sup>-</sup>	2052.8	8 <sup>+</sup>			
728.7 2	64 6	2052.8	8 <sup>+</sup>	1323.9	6 <sup>+</sup>	E2		α(K)exp=0.0027 6 A <sub>2</sub> =+0.37 2, A <sub>4</sub> =0.00 1 (1984To10). A <sub>2</sub> =+0.30 3, A <sub>4</sub> =-0.11 4 (1974De12). Additional information 7.
735.9 4	3.1 6	3296.3	10 <sup>+</sup>	2560.4	8 <sup>+</sup>			

Continued on next page (footnotes at end of table)

**(HI,xn $\gamma$ ) 1984To10 (continued)** $\gamma(^{130}\text{Ce})$  (continued)

$E_\gamma$ †	$I_\gamma$ †	$E_i(\text{level})$	$J_i^\pi$	$E_f$	$J_f^\pi$	Mult. @	Comments
741.3 4	2.2 4	3699.5	11 <sup>-</sup>	2958.2	9 <sup>-</sup>		
756.0 2	45 5	2808.9	10 <sup>+</sup>	2052.8	8 <sup>+</sup>	E2	$A_2=+0.41$ 2, $A_4=-0.05$ 2 (1984To10). $A_2=+0.38$ 2, $A_4=-0.19$ 3 (1974De12).
766.4 5	0.4 1	6977.3	20 <sup>-</sup>	6211.1	18 <sup>-</sup>		
767.5 4	3.1 6	4448.6	14 <sup>-</sup>	3681.1	12 <sup>-</sup>	E2 <sup>a</sup>	
769.1 4	1.4 3	5304.6	15 <sup>-</sup>	4535.4	13 <sup>-</sup>		
770.1 5	0.8 2	4755.2	14 <sup>+</sup>	3985.1	12 <sup>+</sup>		
803.3 4	2.7 6	4119.7	12 <sup>-</sup>	3316.6	10 <sup>-</sup>		
831.0 2	16.5 17	5384.3	18 <sup>+</sup>	4553.2	16 <sup>+</sup>		
835.0 4	1.2 3	834.6	2 <sup>+</sup>	0.0	0 <sup>+</sup>		
835.7 3	6.1 12	4862.2	15 <sup>-</sup>	4026.5	13 <sup>-</sup>	E2 <sup>a</sup>	
835.8 4	2.2 4	4535.4	13 <sup>-</sup>	3699.5	11 <sup>-</sup>		
836 <sup>‡</sup>		7411.1	21 <sup>-</sup>	6575.4	19 <sup>-</sup>		$E_\gamma$ : unresolved doublet.
853 <sup>#</sup>		5608	16 <sup>+</sup>	4755.2	14 <sup>+</sup>		
853.6 4	2.1 4	4972.8	14 <sup>-</sup>	4119.7	12 <sup>-</sup>		
884.4 4	2.3 5	6642.1	19 <sup>-</sup>	5757.7	17 <sup>-</sup>		
894.7 4	2.8 6	5343.3	16 <sup>-</sup>	4448.6	14 <sup>-</sup>		
895.5 4	3.5 7	5757.7	17 <sup>-</sup>	4862.2	15 <sup>-</sup>	E2 <sup>a</sup>	
903 <sup>#</sup>		2958.2	9 <sup>-</sup>	2052.8	8 <sup>+</sup>		
907 <sup>#</sup>		7883.4	22 <sup>-</sup>	6977.3	20 <sup>-</sup>		$E_\gamma$ : 902 (1984Tw01).
925 <sup>#</sup>		6533	18 <sup>+</sup>	5608	16 <sup>+</sup>		
941 <sup>#</sup>		7583	21 <sup>-</sup>	6642.1	19 <sup>-</sup>		
957.4 3	6.1 12	6341.8	20 <sup>+</sup>	5384.3	18 <sup>+</sup>		
968 <sup>#</sup>		8378.7	23 <sup>-</sup>	7411.1	21 <sup>-</sup>		$E_\gamma$ : 966 (1984Tw01).
976.5 4	1.2 3	6319.8	18 <sup>-</sup>	5343.3	16 <sup>-</sup>		
980 <sup>#</sup>		7513	20 <sup>+</sup>	6533	18 <sup>+</sup>		
989.0 5	0.9 2	2313.0	7 <sup>-</sup>	1323.9	6 <sup>+</sup>		
1009.2 4	4.6 10	2333.1		1323.9	6 <sup>+</sup>		
1012 <sup>#</sup>		6396	20 <sup>+</sup>	5384.3	18 <sup>+</sup>		
1022 <sup>#</sup>		8605	23 <sup>-</sup>	7583	21 <sup>-</sup>		
1022.1 5	1.0 2	5884.3	(17 <sup>-</sup> )	4862.2	15 <sup>-</sup>		
1027 <sup>#</sup>		8910.6	24 <sup>-</sup>	7883.4	22 <sup>-</sup>		
1041 <sup>#</sup>		8554	22 <sup>+</sup>	7513	20 <sup>+</sup>		
1056.9 4	4.0 8	2380.8	6 <sup>-</sup>	1323.9	6 <sup>+</sup>	D+Q	$\delta(Q/D)=-0.2$ to $+0.6$ from $A_2=+0.49$ 9, $A_4=+0.12$ 10 (1984To10).
1067.0 4	3.2 6	7409.0	22 <sup>+</sup>	6341.8	20 <sup>+</sup>		
1068 <sup>#</sup>		7388	20 <sup>-</sup>	6319.8	18 <sup>-</sup>		
1068.8 5	0.8 2	1322.6	4 <sup>+</sup>	253.98	2 <sup>+</sup>		
1085 <sup>#</sup>		9463.6	25 <sup>-</sup>	8378.7	23 <sup>-</sup>		$E_\gamma$ : 1083 (1984Tw01).
1098 <sup>#</sup>		9703	25 <sup>-</sup>	8605	23 <sup>-</sup>		
1110 <sup>#</sup>		9664	24 <sup>+</sup>	8554	22 <sup>+</sup>		
1123 <sup>#</sup>		8511	22 <sup>-</sup>	7388	20 <sup>-</sup>		
1129.7 3	5.0 10	2453.4	7 <sup>-</sup>	1323.9	6 <sup>+</sup>		
1132.5 5	0.9 2	9702.9	(26 <sup>+</sup> )	8570.5	24 <sup>+</sup>		
1138 <sup>#</sup>		10049	26 <sup>-</sup>	8910.6	24 <sup>-</sup>		$E_\gamma$ : 1136 (1984Tw01).
1142 <sup>#</sup>		9748	26 <sup>+</sup>	8606	24 <sup>+</sup>		
1161.4 5	1.0 2	8570.5	24 <sup>+</sup>	7409.0	22 <sup>+</sup>		
1173 <sup>#</sup>		10876	27 <sup>-</sup>	9703	25 <sup>-</sup>		
1185 <sup>#</sup>		10649	27 <sup>-</sup>	9463.6	25 <sup>-</sup>		
1185 <sup>#</sup>		10849	26 <sup>+</sup>	9664	24 <sup>+</sup>		

Continued on next page (footnotes at end of table)

**(HI,xn $\gamma$ ) 1984To10 (continued)** $\gamma(^{130}\text{Ce})$  (continued)

$E_\gamma$ <sup>†</sup>	$I_\gamma$ <sup>†</sup>	$E_i(\text{level})$	$J_i^\pi$	$E_f$	$J_f^\pi$	Comments
1187 <sup>#</sup>		1897.4	6 <sup>+</sup>	710.4	4 <sup>+</sup>	
1197 <sup>#</sup>		8606	24 <sup>+</sup>	7409.0	22 <sup>+</sup>	
1221 <sup>#</sup>		12097	29 <sup>-</sup>	10876	27 <sup>-</sup>	
1233 <sup>#</sup>		11282	28 <sup>-</sup>	10049	26 <sup>-</sup>	$E_\gamma$ : 1227 (1984Tw01).
1244.3 5	0.3 1	1954.6	5 <sup>-</sup>	710.4	4 <sup>+</sup>	
1246		9816	26 <sup>+</sup>	8570.5	24 <sup>+</sup>	$E_\gamma$ : from 1990Ti08. $E_\gamma=1242$ in 1983No07 and 1984Tw01.
1249 <sup>#</sup>		10997	28 <sup>+</sup>	9748	26 <sup>+</sup>	
1273 <sup>#</sup>		11922	29 <sup>-</sup>	10649	27 <sup>-</sup>	
1316 <sup>#</sup>		11132	28 <sup>+</sup>	9816	26 <sup>+</sup>	
1324 <sup>#</sup>		12606	30 <sup>-</sup>	11282	28 <sup>-</sup>	$E_\gamma$ : 1322 (1984Tw01).
1331 <sup>#</sup>		13817	32 <sup>+</sup>	12486	30 <sup>+</sup>	
1354 <sup>#</sup>		12486	30 <sup>+</sup>	11132	28 <sup>+</sup>	
1361 <sup>#</sup>		15178	34 <sup>+</sup>	13817	32 <sup>+</sup>	
1390 <sup>#</sup>		11138	28 <sup>+</sup>	9748	26 <sup>+</sup>	

<sup>†</sup> From 1984To10, except as noted.  $\Delta(E_\gamma)=0.2$  keV for  $I_\gamma>10$ , 0.3 keV for  $I_\gamma=5-10$ , 0.4 keV for  $I_\gamma=1-5$  and 0.5 keV for  $I_\gamma<1$ ;  $\Delta(I_\gamma)=10\%$  for  $I_\gamma>10$  and 20-30% for  $I_\gamma<10$ , based on a general statement by 1984To10.

<sup>‡</sup> From spectrum shown by 1983No07 (also 1984Tw01), intensity is not available.

<sup>#</sup> From 2000PaZZ.

<sup>@</sup> From  $\gamma(\theta)$ ,  $\gamma\gamma(\theta)$  of 1984To10 and  $\alpha(K)\text{exp}'s$  of 1973Wy01 (also 1970Sm05).

<sup>&</sup> Weak  $\gamma$  from coincidence relations,  $E_\gamma$  from level-energy difference.

<sup>a</sup> From  $\gamma\gamma(\theta)$  (1984To10).

<sup>b</sup> Total theoretical internal conversion coefficients, calculated using the BrIcc code (2008Ki07) with Frozen orbital approximation based on  $\gamma$ -ray energies, assigned multipolarities, and mixing ratios, unless otherwise specified.

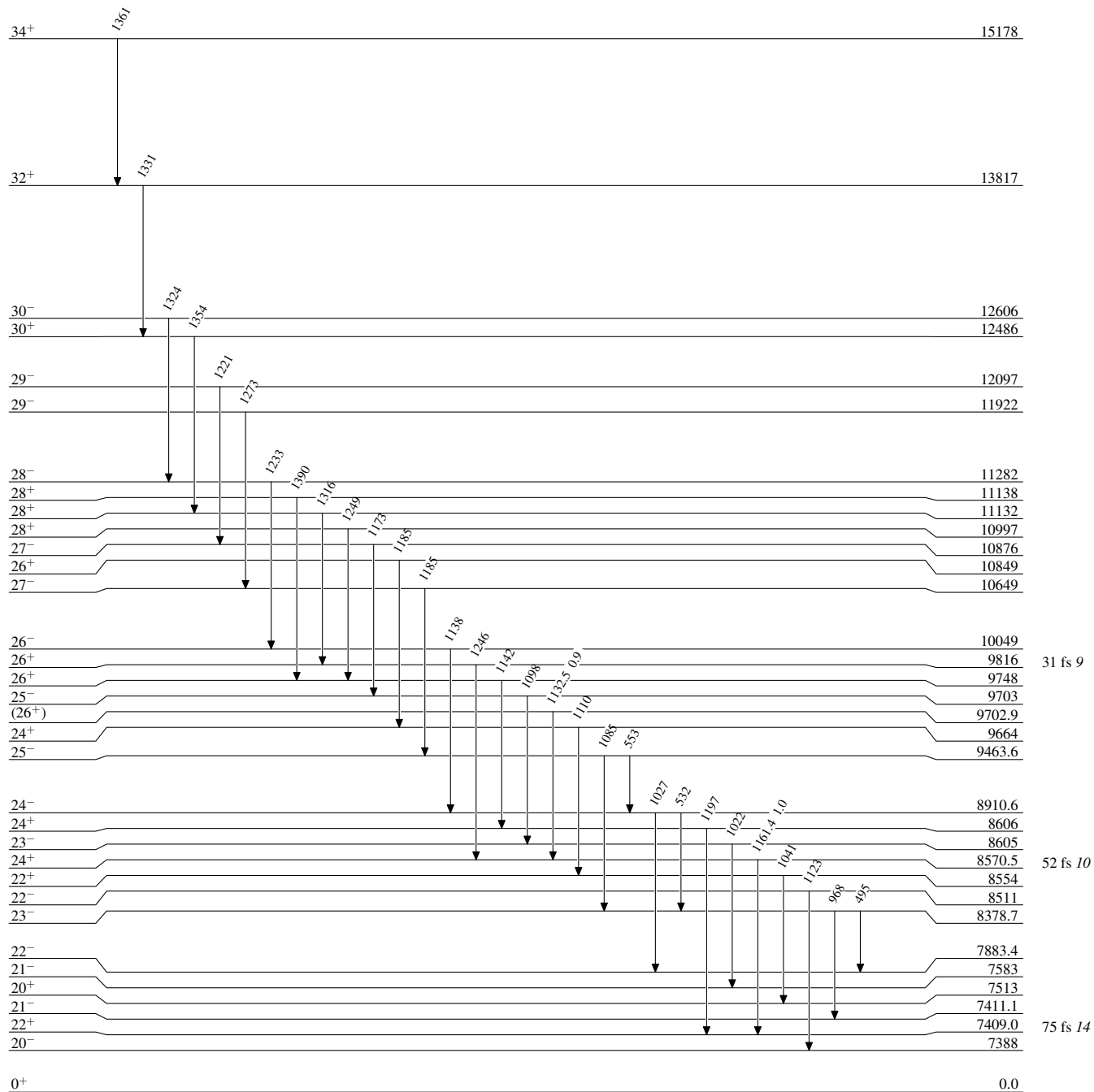
(HI,xn $\gamma$ ) 1984To10

Level Scheme

Intensities: Relative  $I_{\gamma}$

Legend

- $I_{\gamma} < 2\% \times I_{\gamma}^{max}$
- $I_{\gamma} < 10\% \times I_{\gamma}^{max}$
- $I_{\gamma} > 10\% \times I_{\gamma}^{max}$



$^{130}_{58}\text{Ce}_{72}$



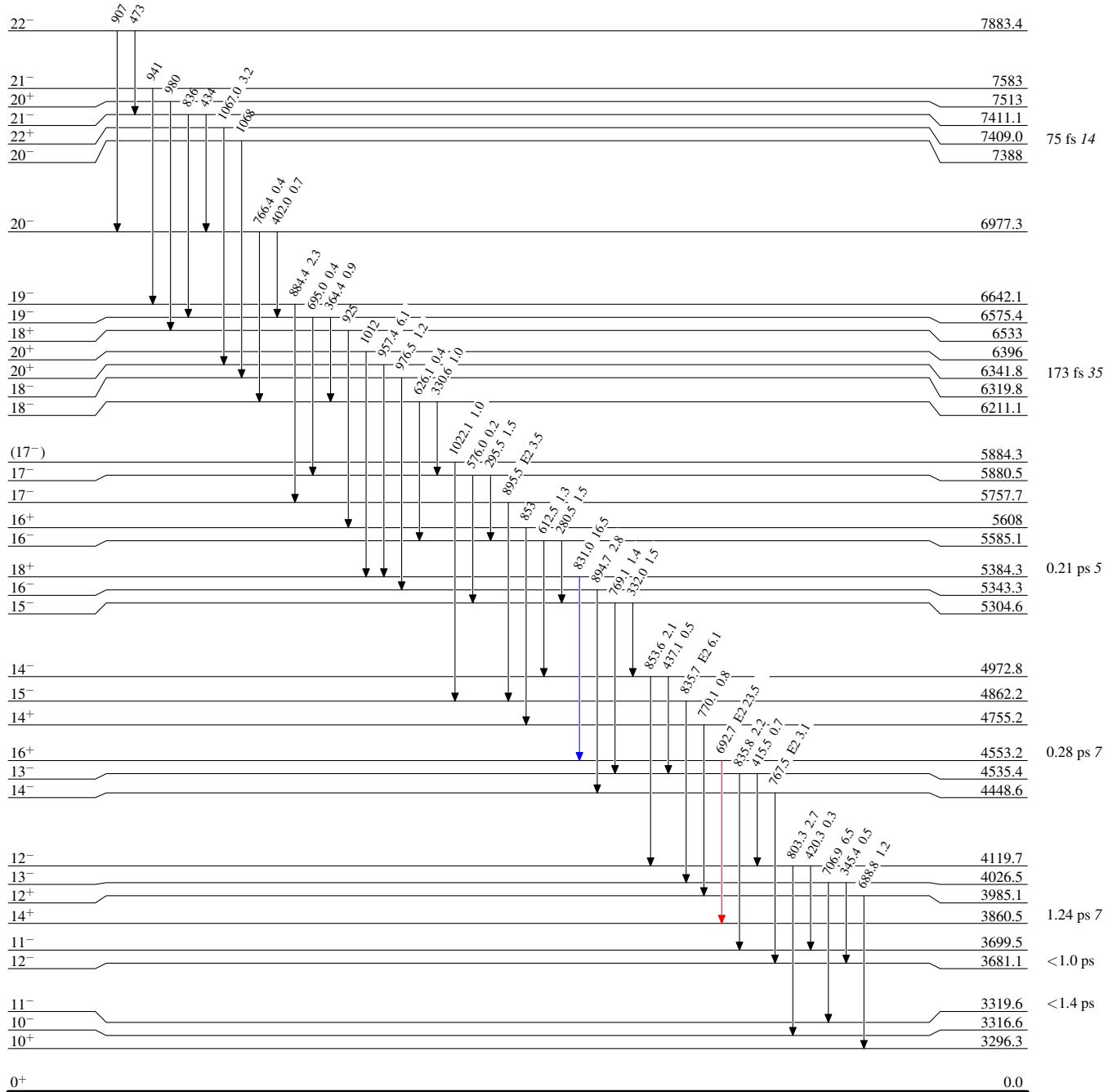
(HI,xn $\gamma$ ) 1984To10

Level Scheme (continued)

Intensities: Relative I $\gamma$

Legend

- I $\gamma$  < 2%  $\times$  I $\gamma^{max}$
- I $\gamma$  < 10%  $\times$  I $\gamma^{max}$
- I $\gamma$  > 10%  $\times$  I $\gamma^{max}$



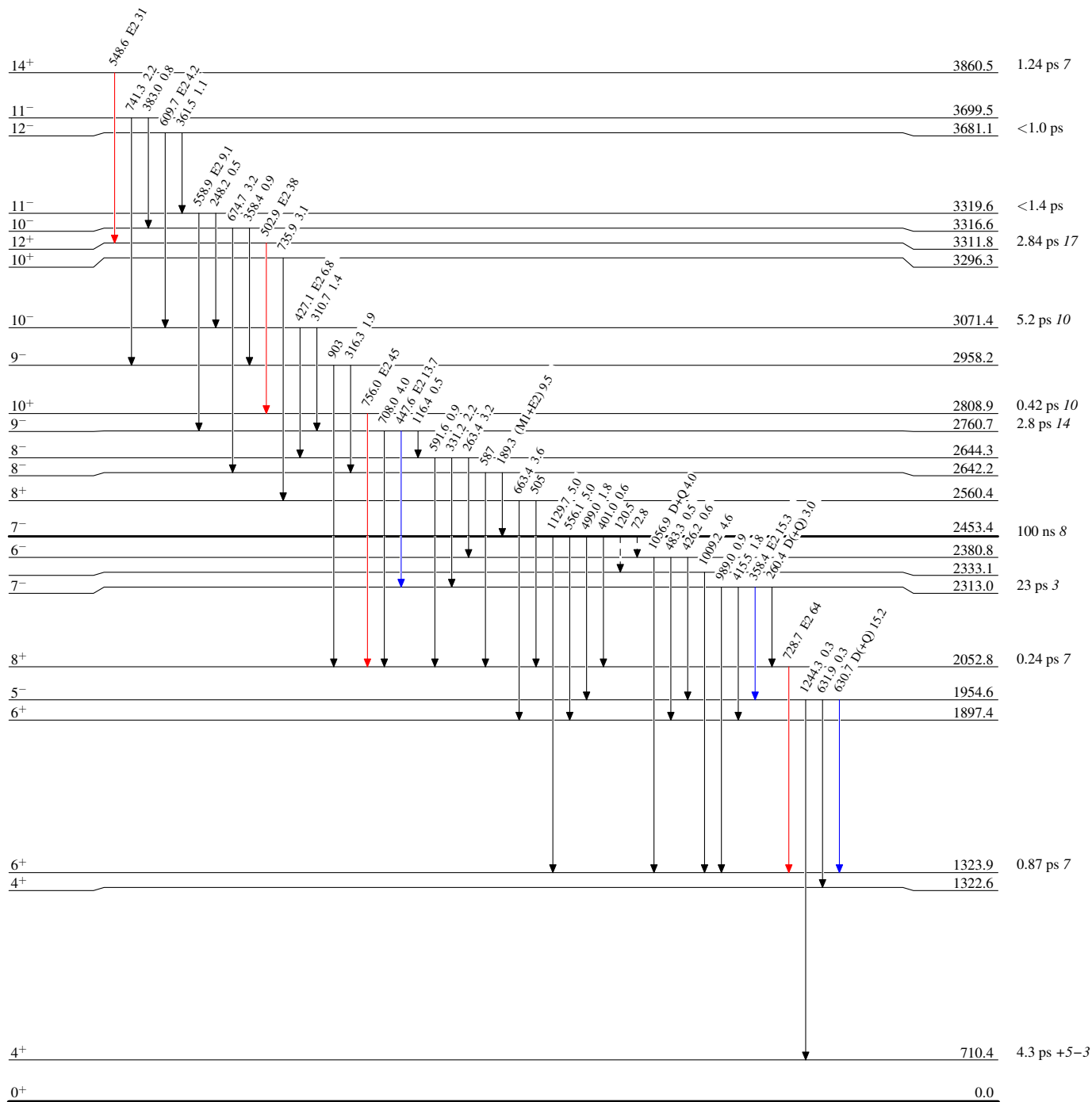
(HI,xn) 1984To10

Legend

Level Scheme (continued)

Intensities: Relative  $I_\gamma$

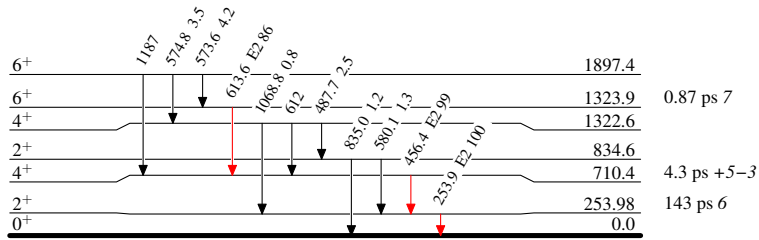
- $I_\gamma < 2\% \times I_\gamma^{max}$
- $I_\gamma < 10\% \times I_\gamma^{max}$
- $I_\gamma > 10\% \times I_\gamma^{max}$
- - - -  $\gamma$  Decay (Uncertain)



**(HI,xn $\gamma$ ) 1984To10****Level Scheme (continued)**Intensities: Relative  $I_\gamma$ 

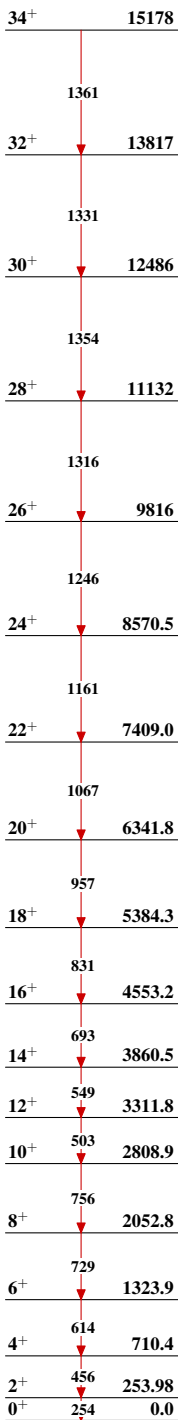
## Legend

- $I_\gamma < 2\% \times I_\gamma^{\max}$
- $I_\gamma < 10\% \times I_\gamma^{\max}$
- $I_\gamma > 10\% \times I_\gamma^{\max}$

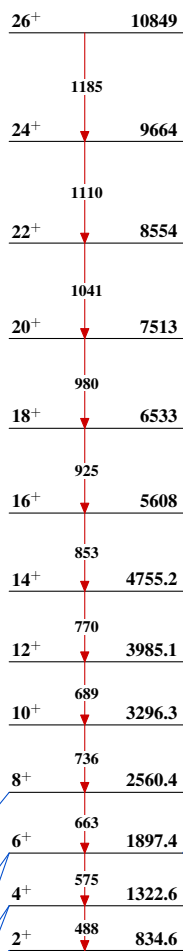
 $^{130}_{58}\text{Ce}_{72}$

**(HI,xn $\gamma$ ) 1984To10**

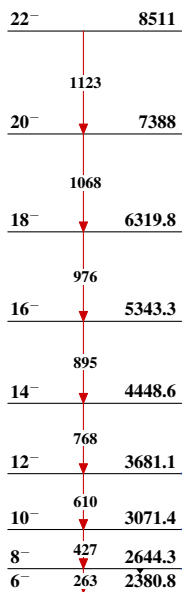
Band(A): g.s. (yrast)  
band, AB after  $10^+$



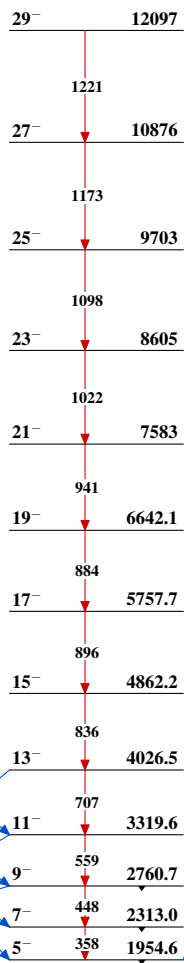
Band(B):  $\gamma$  band,  $\gamma$ AB  
after  $10^+$



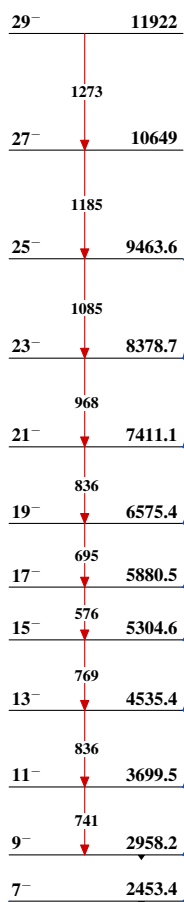
Band(C): AE band



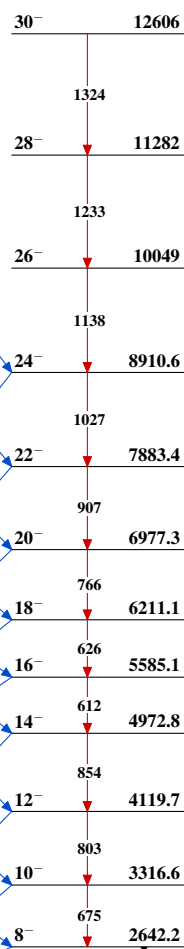
Band(D): AF band



Band(E):  $K^\pi=(7^-)$  af  
band, afAB after  $15^-$



Band(F):  $K^\pi=(7^-)$  ae  
band, aeAB after  $14^-$

 $^{130}_{58}\text{Ce}_{72}$